Տեխնիկական գիտութ. սեբիա

XX, № 3, 1967

Серия технических наук

ЭЛЕКТРОТЕХНИКА

B. J. OFAHECHI

РАСЧЕТ ХАРАКТЕРИСТИКИ ДРОССЕЛЕЙ НАСЫЩЕНИЯ С ПОДАВЛЕННЫМИ ЧЕТНЫМИ ГАРМОНИКАМИ ТОКА

Процессы в дросселях насыщения (ДН) с подавленными четными гармониками тока сильно отличаются от процессов в ДН со свободными четными гармониками тока и, что напболее важно, уравнения потоков в этих ДН различны (1). Рассмотрим ДН с последовательно соединенными рабочими обмотками, работающий на активную нагрузку (рис. 1). Цепь управления включена на источник тока. В

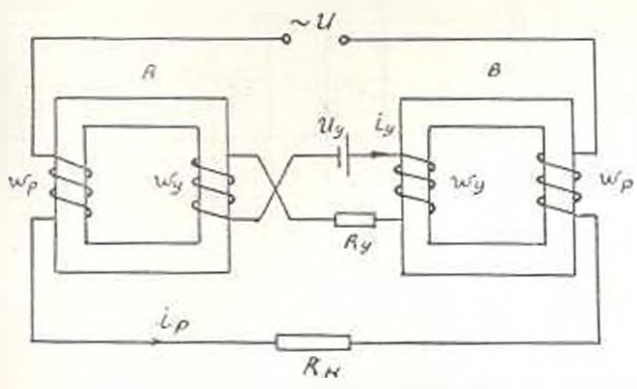


Рис. 1. Схема просселя насыщения.

отличие от [2] вдесь используем только уравнение магнитной цепи ненасыщенного дросселя, скажем В. Тогда, выражая ампервитки намагничения через магнитный поток и магнитную проводимость сердечника, получим

$$l_{\mu}w_{\mu} = l_{\tau}w_{\tau} - \frac{\Phi_B}{0.4\pi G_{W,B}}$$
 (1)

Значение ампервитков управления не зависит от трансформации напряжения от рабочих обмоток в обмотки управления и задается источником тока в цени управления. Магнитный поток в серденике дросселя В для ДП с идеальной характеристикой серденника ранен [1]:

$$\Phi_B = \Phi_S - \Delta \Phi \sin t \, \omega t = \frac{\pi}{2} \, . \tag{2}$$

где $\Delta \Phi$ — максимальное изменение тока в сердечнике, зависящее от приложенного к рабочей обмотке напряжения. В ДП с реальной магнитной характеристикой сердечника при малых токах управления магне-

нитные потоки не доходят до потока насыщения вследствие потерь в сердечнике на подмагиичивание, в слязи с чем можем записать

$$\Phi_{\mathcal{S}} = \Phi_{y} - \Delta \Phi \sin \left(-t - \frac{\pi}{2} \right). \tag{3}$$

где Φ_y — постоянная составляющая магнятного потока, зависящая от тока управления. Определение характеристики при малых токах управления для всех режимов работы ДП (т. с. при $R_{\rm max} \neq 0$) остается одним и тем же, поэтому булет дано ниже после рассмотрения этих режимов. Для облегления расчета аналогично [2] условно

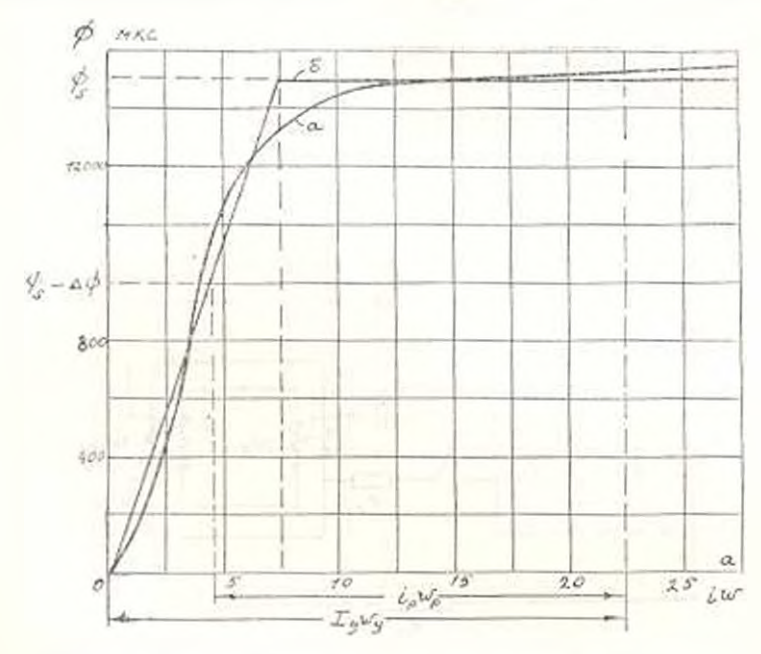


Рис. 2. Магиптиые характеристики сердечинка: лу-реальная, 6) аппроксимированцая.

аппроксимируем кривую намагничения сердечника двумя отрезками прямой (рис. 2). Совместное решение уравнений (1) и (2) дает значение рабочих ампервитком как

$$\Phi_{A} = \frac{\Phi_{A}}{0.4 - G_{m,B}} = \frac{\Delta \Phi \sin \left(\omega t - \frac{\pi}{2}\right)}{0.4 - G_{m,B}}$$

или, соответственно, так как при $R_{\rm tat}=0$ напряжение сети прикладывается к рабочей обмотке непасыщенного дросселя

$$i_{\rho}w_{\rho} = I_{\sigma}w_{\rho} - \frac{w_{\rho}U_{\sigma}}{wI_{\sigma}} \div \frac{w_{\rho}U_{\sigma}\sin\left(\pi I - \frac{\pi}{2}\right)}{wI_{\sigma}}.$$
 (4)

где $L=0,4\pi=G_{m,B}\cdot 10^{-8}$ — индуктивность рабочей обмотки одного дросселя; U_s — напряжение насыщения одного дросселя. Среднее по модулю значение рабочих ампервитков равно

$$I_p w_p = I_y \overline{w}_y - \frac{w_p U_S}{w I_s} + \frac{w_p U}{w I_s}. \tag{5}$$

Коэффициент усиления по ампервиткам

$$K_{AW}, DH = \frac{I}{I_{y}w_{y}}$$
 (6)

При конечном сопротивлении нагрузки существуют четыре режима работы ДН с идеальной характеристикой сердечника [3]. Эти режимы существуют и для ДН с реальной характеристикой намагии чения сердечника. Кроме этого, существует и режим при малых токах управления. Этот режим не разграничивается резко от первого режима, однако, как и и [2], характеристика ДП при малых токах управления требует отдельного решения.

Первый режим работы ДН. Если пренебречь падением папряжения от токов возбуждения, то

$$I_p \approx I_y - I_y = \frac{1}{2^n n}$$

Тогда рабочие амперинтки (рис. За) будут

$$\iota_{p}w_{p} = I_{y}w_{y} - \frac{w_{p}U_{x}}{1 + \frac{1}{2}} = \frac{\left| -\sin\left(\omega t - 2\right) - I_{y}R_{\text{aux}}\right)\right|}{1 + \frac{1}{2}}.$$
 (7)

Среднее по модулю значение рабочих ампервитков

$$I_p w_p = I_y w_v - \frac{w_p U_p}{\omega L} + \frac{w_p U_p - I_y R_{\text{BMS}}}{\omega L}. \tag{8}$$

Первый режим работы ДП при конечной нагрузке имеет место до некоторого значения угла 2 [1]. Значение этого угла

$$\alpha = \arccos \frac{I}{U} \tag{9}$$

Первый режим ограничивается значением 2 = v = 32,5° (cos v = 0,844) при значениях 2 < v начинается второй режим работы ДП (рис. 3б)

Второй режим работы ДН. Для второго режима работы ДП проще написать сразу выражение для средних значений ампервитков. При этом для расчета ампервитков возбуждения делаем допущение, что среднему значению магнитного потока, независимо от формы приложенного напряжения, соответствует определенное среднее значение ампервитков. Это справедливо не только для анпроксимированной магнитной характеристики, но и приближению для реальной магнитной характеристики. Ошибку, вносимую при этом, учитываем выбором нового пачала координат на кривой намагничения [2]. Получаем следующее выражение средних рабочих ампервитков:

$$I_{\mu}w_{\mu} = I_{\mu}w_{\mu} - \frac{w_{\mu}U_{\mu}}{\omega L} + \frac{w_{\mu}(U - I_{\mu}R_{\text{loss}})}{\omega L} -$$

$$-\frac{1}{\pi} \int_{-\pi}^{\pi} \left(I_y w_y - \frac{w_\mu U}{R_{max}} \sin \omega t \right) d(\omega t). \tag{10}$$

Угол 7 определяется из следующего уравнения:

$$\gamma = \arcsin \frac{f_{\nu}^* R_{\text{max}}}{U_m} \, . \tag{11}$$

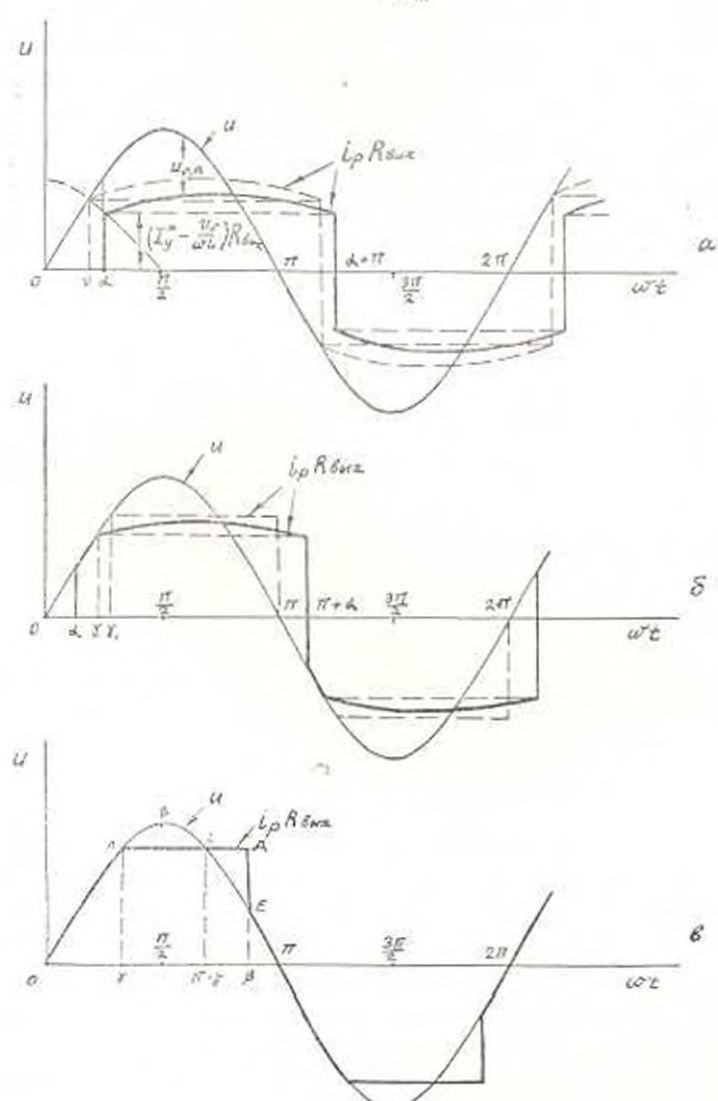


Рис. 3. На режение питания и выходное напряжение на нагрузке при: a) первом режиме, б) втором режиме, в)—третьем режиме.

Решая уравнение (10) относительно рабочих ампервитков, получаем трансцендентное уравнение

$$I_p w_p = \frac{b}{a} + \frac{1}{\pi} \arccos \frac{1}{U}$$
 (12)

тде

$$a = \frac{1}{2} + \frac{R_{\text{max}}}{L}$$

$$b = I_y w_y \left(1 - \frac{\gamma}{\pi}\right) - \frac{w_p U_s}{\omega L} = \frac{w_p U}{2R} - \frac{w_p U}{2R} \cos \frac{\gamma}{L}.$$

Существуют довольно простые методы приближенного решения трансцендентных уравнений с какой угодио степенью точности. Нам необходимо для каждого значения t_0 определять t_0 как корень уравнения (12). Второй режим работы имеет место при 0 < x < y или для относительного тока управления $0.844 < t_y < 1.14$ [1]. При $t_y > 1.14$ начинается третий режим работы ДП (риг. 3в).

Третий режим работы ДН. При третьем режиме для ДН с ревльной магнитной характеристикой сердечника при полном насыщении сердечников ($\Delta\Phi=0$) миновенное значение рабочего тока из-за существования наклонной части магнитной характеристики и в интер-

вале АД будет меньше /. на <u>w/.</u> (рис. 2).

Для облегчения определения интервала АД считаем, что магнитопровод ДН идеальный. Тогда из равенства площади ABC=CДЕ [4]

$$\int_{1}^{\infty} \left(\frac{U_m}{R_{\text{BMX}}} \sin \omega t - I_3 \right) d(\omega t) - \int_{1}^{\infty} \left(I_3 - \frac{U_m}{R_{\text{BMX}}} \sin \omega t \right) d(\omega t). \tag{13}$$

Решая эти интегралы, получаем трансцендентное уравнение

$$3 = -\frac{1}{I_n R_{\text{min}}} \cos \gamma - \pi - \gamma - \frac{1}{I_n R_{\text{min}}} \cos \beta, \tag{14}$$

Интервал АД обозначим через

$$q = \pi - \gamma - \beta. \tag{15}$$

Рабочие ампервитки будут для ДП с реальным магнитопроводом

$$I_{\pi} = \frac{2}{\pi} I_{\pi} = \frac{\omega_p U_{\rm J}}{\omega L} \cdot \frac{\pi - \gamma - \beta}{\pi} \tag{16}$$

Откуда видно, что только в конце третьего режима, т. е. когда $i_y = \frac{\pi}{2}$, относительное значение рабочего тока $i_y = 1$. При токе ун-

равления больше $i_y = \frac{\pi}{2}$ начинается четвертый режим.

Четвертый режим работы ДН. Четвертый режим ДП с реальной магнитной характеристикой сердечника не отличается от того же режима ДП с идеальной магнитной характеристикой сердечника, так как при $i_y > \frac{1}{2}$ ДП работает так, как если бы в дросселе не было железа (рис. 4). Ток нагрузки синусондален и не меняется при увеличении i_y .

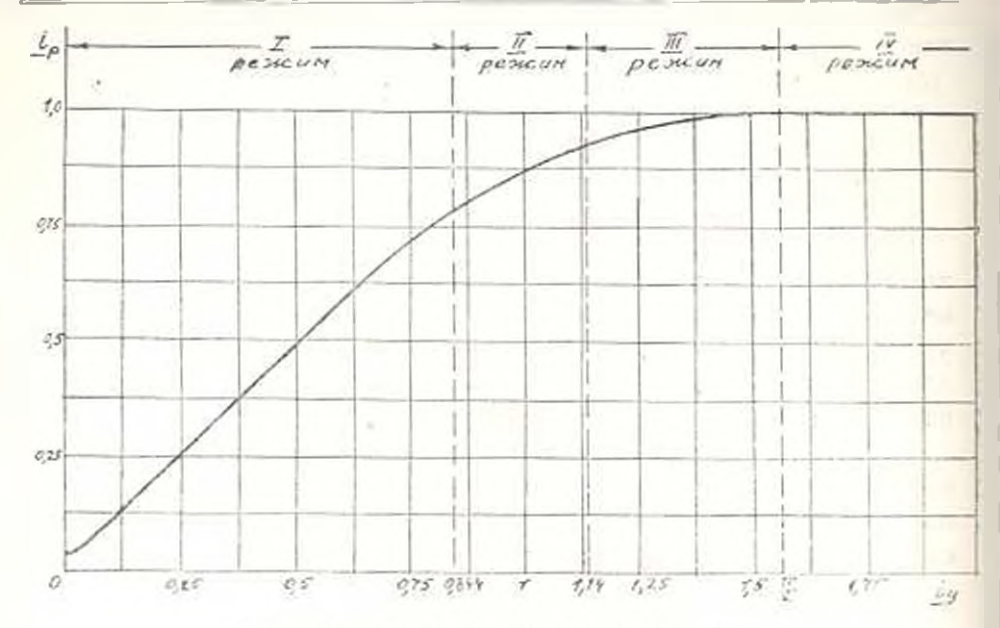


Рис. 4. Характеристика дросселя насыщения.

Примечание: При отсутствии тока управления при пормальном возбуждении и недовозбуждении ДП сердечники дросселей ненасыщены, через рабочую обмотку [2] течет ток возбуждения

$$\hat{I}_{p, 0} = \frac{\Phi_A - \Phi_B}{2w_p G_w}, \quad (17)$$

где G_m — магнитная проводимость ненасыщенного сердечника.

При определении непосредственно значений ампервитков будем пользоваться реальной характеристикой намагничения. Среднее значение тока возбуждения $I_{p,0}$ при нулевом токе управления определяется по кривой намагничения или польтамперной характеристике одного дросселя (рис. 5) как полусумма токов, соответствующих напряжениям $U_{p,-1}$ и $U_{2,-B_n}$ отложенным от точки 0 вверх и вниз. При протекании в обмотке управления малого тока управления I_{γ_1} магнитные потоки смещаются вверх на Φ_{y_1} соответствующий току управления I_{γ_1} на магнитной кривой. Напряжения $U_{p,-A}$ и $U_{p,-B}$ откладываются теперь от точки O_1 . Если $U_{p,-A}$ переходит за U_{s_1} то ΔU откладывается вниз от конца $U_{p,-B}$. Ток возбуждения и этом случае равен половине тока соответствующего напряжению от $U_{p,-B}$ плюс ток ΔI_{γ_1} соответствующего напряжению ΔU_{γ_1} . Символически можно записать так

$$I_{B} = \frac{1}{2} I \left[(U_{B, B} - \Delta U) + U_{B, B} \right] + I (\Delta U). \tag{18}$$

Ток возбуждения определяется до значения приведенного тока управления $I_{*} = \frac{U}{L}$, при больших I_{*} начинается первый режим работы ДП.

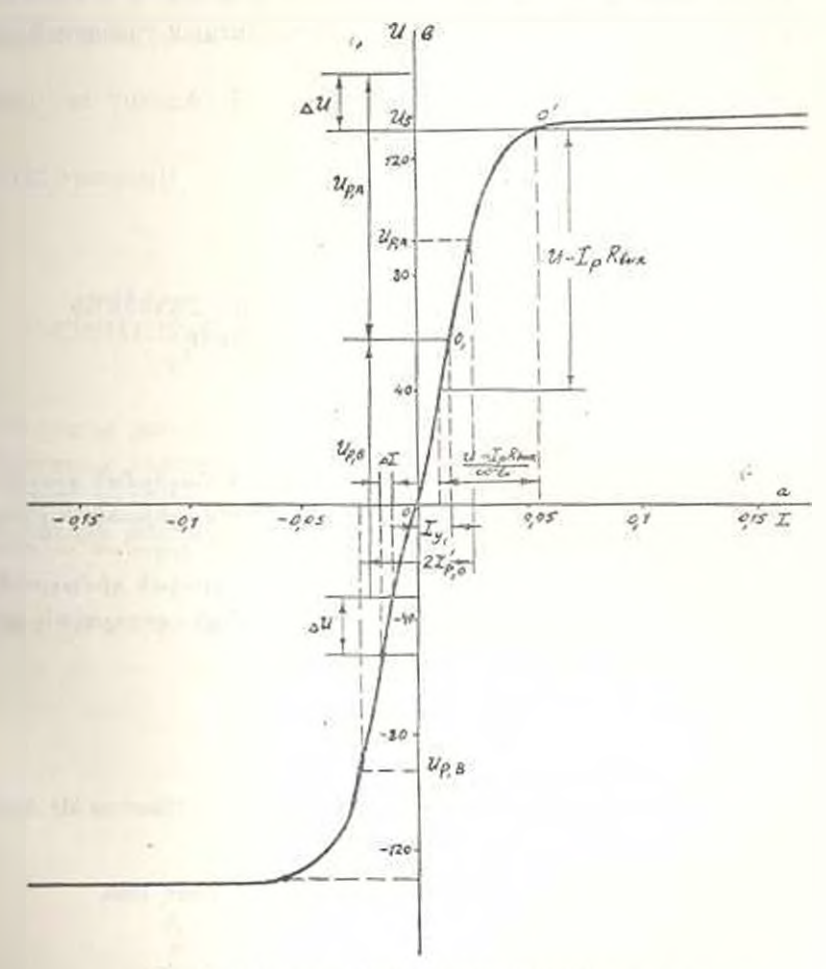


Рис. 5. Магнитная характеристика одного дросселя.

Составляющие тока возбуждения в рабочей обмотке $U = I_p R_{\text{вых}}$ определяются также по вольтамперной характеристике просселя. Ток $\frac{U}{\omega L}$ определяется как ток, соответствующий напряжению, принятому за напряжение насыщения U. Ток $\frac{U-I}{\omega L}$ определяется откладыванием значения $U = I_p R_{\text{вых}}$ иниз от точки 0', принимаемой за новое начало координят и соответствующей точке насыщения на магнитной характеристике. Если задать характеристику намагничения сердечника аналитически [4], то можно будет аналитически определять токи возбуждения. Но поскольку для второго и третьего режимов были получены трансцендентные уравнения рабочих ам-

первитков, в целом численное определение характеристики ДП будет

графоаналитическим, так как кории трансцендентных уравнений определяются графически и графо-аналитически.

Автор выражает благодарность проф. Г. Т. Адонцу за ценные советы и замечания.

ИРФЭ АН АрмССР

Поступна о 22 IV.1966

દ, ૧, 2002006/05/05

ՀԱՄԱԵՐԱՆ ԾԱՄԾՄԷ ԶԳԵՐԱՐՈՒՄԻԱՆ ՔԵՐՈԶ ՎԳԵԱՍՈՆ ԶՐԴԱՐԾԱՀ ՎԴՐԱԿԳՈՐՅ ՎԳԵԼԱՍՈՐԻ

Uniferential

Տրվում է հոսանրի հարմանիկաննրը մնչված հացևցման դրոսելների բնութագրի հայվարկի ժեթող՝ օգտագործելով միջուկի մադնիսական ընութագրի կառը-դձային ապրոսիմացիու շայժի են առնվում որդաման ասպեր ալարննրը։ Հաշվարկը կատարվում է ընոնվածքի ոչ-զերոյական դիմադրություն ունեցող հաղիցման դրոսելի չորս ռեժիմների և հոսանքի դերոյական դիմադրություն ունեցող հաղիցման դրոսելների համար։

ЛИТЕРАТУРА

1. Сторля Г. Ф. Магнизные усилители. М., 1957.

Данески Э. Л. Расчет характеристики дрогселя насыщения, Известия АН АрмССР (серия ТН), № 2, 1966.

3. Storm H. F. Trans. ATEE, 69, Part. 11, 1299 1309 (1950).

1. Бессонов Л. А. Электрические цени со сталью. Госэпергопудат, 1918.